

روش نوین نشت یابی با استفاده از شبکه‌های عصبی مصنوعی

محمد عطاری^۱، محمود فغفور مغربی^۲

۱- دانشجوی دکترا مهندسی آب و سازه‌های هیدرولیکی، دانشگاه فردوسی مشهد، ایران
۲- استاد گروه عمران، دانشگاه فردوسی مشهد، ایران
[\(نویسنده مسئول\)](mailto:maghrebi@um.ac.ir)

(دریافت ۹۴/۹/۲۸) پذیرش (۹۵/۰/۱۷)

چکیده

در حال حاضر هدر رفت آب به یک نگرانی جهانی تبدیل شده است. تقاضا برای آب در حال افزایش است. این مسئله مدیریت تقاضا و اصلاح الگوی مصرف را ضروری ساخته است. از مهم ترین روش‌های مدیریت مصرف، کاهش آب به حساب نیامده است. در این پژوهش یک ایده جدید برای تعیین موقعیت و مقدار نشت‌های موجود در شبکه‌های توزیع آب با استفاده از شبکه‌های عصبی معرفی شد. در این روش با تولید داده‌های آموزشی و اعمال آن به شبکه عصبی، شبکه قادر خواهد بود که با دریافت فشار گرهی، موقعیت و مقدار تقریبی نشت گرهی را تعیین کند. تولید داده‌های آموزشی با اعمال نشت فرضی در گره‌های مشخصی از شبکه و برداشت فشار گرهی انجام می‌شود. نتایج نشان می‌دهد که این روش می‌تواند با حداقل برداشت اطلاعات هیدرولیکی از نوع فشارها، علاوه بر تعیین موقعیت نشت‌های موجود گرهی، میزان نشت در هر یک از گره‌ها را نیز با دقت مناسبی تعیین کند.

واژه‌های کلیدی: نشت یابی، فشارسنجی، شبکه‌های عصبی، شبکه توزیع آب

۱- مقدمه

۲۰ درصد از کل درآمدهای شرکت آب و فاضلاب کشور را برای تعمیر، بازسازی و اصلاح به خود اختصاص داده است که حدود ۳۰ درصد این حوادث روی لوله‌های سامانه توزیع آب بوده است (Soltani & Mohammad Rezapour Tabari 2002).

نشت آب نه تنها منجر به اتلاف منابع آب با کیفیت می‌شود بلکه منجر به آلودگی آب‌های آشامیدنی و همچنین سبب آسیب‌های جدی به انسان و ساختمان‌های اطراف محل نشت می‌شود (Li et al. 2011; Campisano et al. 2010).

هم اکنون روش‌هایی چون ابزارهای صوتی، موازنۀ جرم، عکس‌برداری هوایی بر مبنای پایش حرارتی، گازهای رسام توسط متصدیان صنعت آب برای شناسایی و کاهش نشت مورد استفاده از قرار می‌گیرند (Covas & Ramas 2010). علاوه بر این استفاده از روش‌های مدیریتی نظیر مدیریت هوشمند فشار، از جمله روش‌های موثر در کاهش نشت از شبکه‌های توزیع آب شهری می‌باشد (Soltani Asl & Moghrebi 2008). اگر چه روش‌های نشت یابی محلی در برخی شرایط دارای دقت مناسبی هستند، ولی استفاده از آنها هزینه‌بر و زمان‌بر بوده و در برخی موارد دارای اثر بخشی لازم نیستند؛ به عنوان نمونه ابزارهای صوتی برای لوله‌های پلاستیکی

کشور ایران با متوسط بارش حدود ۲۶۰ میلی‌متر در سال در زمرة مناطق خشک جهان به شمار می‌رود (Tajrishy & Abrishamchi 2004).

بانک جهانی در گزارشی از کاهش سرانه آب قابل استحصال به عنوان چالش پیش روی کشورمان نام برده است. تمام آب ورودی به شبکه‌های توزیع آب مصرف نمی‌شود و بخش قابل توجهی از آن از طریق نشت یا آب به حساب نیامده به هدر می‌رود و هزینه سنگینی را به سازمان‌های آب و فاضلاب تحمیل می‌کند (Karamouz et al. 2005). در سال‌های اخیر کمبود شدید منابع و افزایش سریع هزینه‌های تولید آب باعث شده که موضوع آب به حساب نیامده مورد توجه قرار گیرد. بر طبق آمار اعلام شده آب و فاضلاب کشور، مقدار آب به حساب نیامده در شبکه‌های روتایی ۳۱/۹۶ درصد و در مناطق شهری ۲۸/۳ درصد است (National Water & Wastewater Co. 2010).

تعداد رخداد حوادث در شبکه آبرسانی معمولاً بسیار بالا است. به عنوان مثال در سال ۱۳۷۷ حدود یک میلیون حادثه در سامانه‌های توزیع آب و فاضلاب کشور رخ داده است که بیش از

در پژوهش دیگری تلاش شد با کنترل فشار، مقدار نشت در شبکه به حداقل رسانده شود که نتایج آن موفقیت آمیز گزارش شد به طوری که بدون محدودیت قابل توجه در کارایی سیستم مدیریت فشار در شبکه صورت گرفت (Araujo et al. 2006).

در این پژوهش، ایده‌ای جدید به منظور تعیین موقعیت و مقدار نشت‌های موجود در شبکه توزیع آب با استفاده از حداقل برداشت اطلاعات هیدرولیکی از نوع فشارهای گرهی در شبکه معرفی شد. این روش مبتنی بر محاسبه اندازه‌گیری تغییرات فشار ناشی از وجود نشت‌ها در شبکه نسبت به حالت بدون نشت است. در روش مذکور با تولید داده‌های آموزشی و اعمال آن به شبکه‌های عصبی مصنوعی، شبکه قادر خواهد بود که با دریافت فشار، موقعیت و مقدار دقیق نشت گرهی را تعیین کند. نحوه تولید داده‌های آموزشی نیز با اعمال نشت فرضی در برخی گرهای شبکه و برداشت فشار گرهی بر روی شبکه مدل‌سازی شده انجام شد. از مزایای روش فوق می‌توان به عدم حساسیت آن به تعداد نشت‌های موجود در شبکه، شناسایی دقیق موقعیت نشت‌ها، تعیین کمیت نشت با دقت بالا و سادگی انجام کار تنها با برداشت تعداد کمی فشار گرهی، اشاره کرد.

۲- شبکه مورد بررسی

شبکه مورد مطالعه در این مقاله در شکل ۱ نشان داده شده است (Poulakis et al. 2003).

به منظور انجام مدل‌سازی نرم‌افزار شبکه، لازم است تمامی مشخصات شبکه موجود باشد و نیز عملیات کالیبراسیون بر روی آن انجام شده باشد. برای این منظور ابتدا شبکه مورد بررسی شامل لوله‌هایی افقی و عمودی به طول به ترتیب ۱۰۰۰ و ۲۰۰۰ متر، متوسط زبری مطلق ۲۶/۰ میلی‌متر و ۲۰ حلقه، ۳۰ گره، ۵۰ لوله و یک مخزن در نرم‌افزار EPANET2.0 مدل شد و مشخصات شبکه به طور کامل به نرم‌افزار داده شد (شکل ۱).

۳- تعیین مقدار دقیق نشت در شبکه

با افزایش مقدار نشت، فشار به صورت غیر خطی کاهش می‌یابد. اما در یک محدوده کوچک که در این پژوهش از صفر تا سه برابر مقادیر مصرف گرهی مورد بررسی قرار گرفته است، تغییرات به صورت خطی مشاهده می‌شود که این موضوع در شکل ۲-۲ a

دارای خطای زیادی می‌باشد (Hunaidi et al. 1998). با کاهش هدر رفت آب می‌توان دستیابی افراد بیشتری را به شبکه آبرسانی فراهم کرد. به عنوان مثال در شهر مانیل با کاهش هدر رفت آب از ۶۳ درصد به ۳۰ درصد در یک دوره بیش از ۱۰ ساله، امکان دستیابی ۱۴۸۰۰۰ نفر از افراد به شبکه آبرسانی فراهم شده است (Marunga et al. 2006).

عوامل بسیار زیادی در به وجود آمدن نشت در شبکه آب دخالت دارند. یکی از مهم‌ترین عوامل مؤثر در ایجاد نشت در شبکه آبرسانی فشار است، به طوری که در دهه‌های اخیر می‌توان گفت در اکثر پژوهش‌های انجام شده به منظور نشت یابی و کنترل نشت، فشار به عنوان یک عامل مهم در نظر گرفته شده است. به عنوان مثال در سال ۲۰۱۱ با استفاده از آنالیز حساسیت فشار در گرهای شبکه، موقعیت نشت حتی در شرایط عدم قطعیت تقاضا تعیین شده است (Perez et al. 2011). در پژوهش دیگری با استفاده از نرم‌افزار EPANET2.0 و با در نظر گرفتن حداقل جریان شبانه و در یک بازه زمانی تقریباً سه ساله نشان داده شد که با کاهش ۳۵ درصدی فشار در شبکه مقدار نشت را می‌توان ۲۵ درصد کاهش داد (Marunga et al. 2006).

در پژوهشی با اعمال الگوریتم چند منظوره ژنتیکی، مکان مناسب قرار دادن دریچه‌های کاهش فشار به طوری تعیین شده که تعداد دریچه‌ها به حداقل برسد و مقدار نشت مینیمم شود (Nicolini et al. 2011). همچنین سلطانی اصل و فغفور مغربی با مدل‌سازی شبکه با استفاده از نرم‌افزار ۲.۱ EPANET و با در نظر گرفتن نشت در گره‌ها نشان دادند که با مدیریت فشار می‌توان مقدار نشت را حدود ۳۶ درصد کاهش داد (Soltani Asl & Maghrebi 2008).

مغربی و عطاری به انجام فشارسنجی در حالت وجود و عدم وجود نشت در شبکه در حالت وجود دو نشت همزمان، موقعیت نشت‌ها را در شبکه آبرسانی تعیین کردند (Maghrebi & Attari 2013).

در پژوهش دیگری با استفاده از اطلاعات موجود شبکه شامل جنس، قطر، فشار، عمق قرارگیری لوله و سن به تعیین رابطه‌ای برای پیش‌بینی زمان نشت پرداخته شده است (Jing & Zhi-Hong 2012).

همچنین روشی برای تشخیص نشت در شبکه‌های آب شهری با استفاده از سیستم‌های تشخیص صوتی پیشنهاد شده است (Prodon et al. 2010).

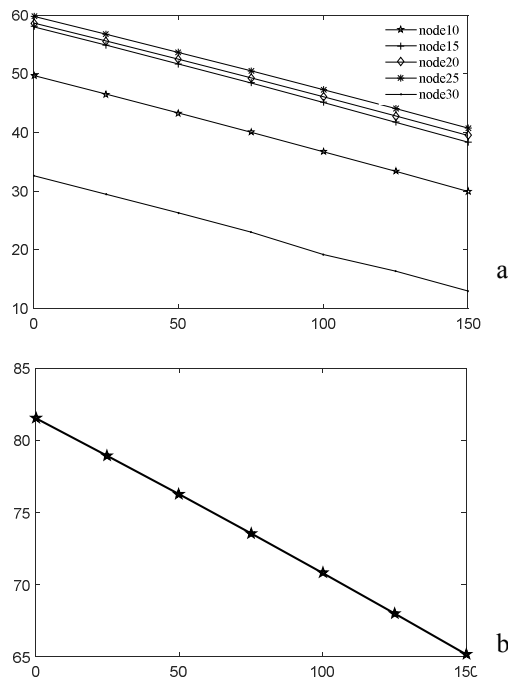


Fig. 2. a) Pressure in different nodes against the amount of leakage in node 2. b) Pressure changes in node 1 against total leakage of network

شکل ۲-۲ (a) فشار در گره‌های مختلف مخادر در گره ۲ و
(b) تغییرات فشار در گره ۱ در برابر مقدار کل نشت در شبکه

برای این منظور با استفاده از نرم‌افزار EPANET2.0 به ازای نشت‌های مختلف مقادیر فشار در گره متصل به مخزن (یعنی گره یک) محاسبه می‌شود. این مقادیر به صورت شکل ۲-۲ ترسیم شده است. با توجه به شکل ۲ که حاصل از تحلیل نرم‌افزاری است و مقدار فشار محاسبه شده در گره متصل به مخزن در شبکه واقعی، مقدار نشت در شبکه واقعی تعیین می‌شود.

۴- نحوه آموزش شبکه عصبی

پس از انتخاب یک مدل مناسب که در این مقاله شبکه عصبی مصنوعی بوده است، اولین مرحله به منظور دست‌یابی به موقعیت و مقدار نشت، آموزش شبکه فوق است. در این مرحله با اعمال یک سری داده‌های ورودی به شبکه عصبی مصنوعی که خروجی آنها نیز مشخص است، شبکه به نحوی آموزش می‌بیند که ارتباط بین ورودی و خروجی‌ها را بیابد. سپس با اعمال نشت فرضی در برخی از گره‌های شبکه و محاسبه فشار گرهی بر روی شبکه مدل‌سازی شده، از اطلاعات حاصل به عنوان ورودی‌های آموزش شبکه عصبی

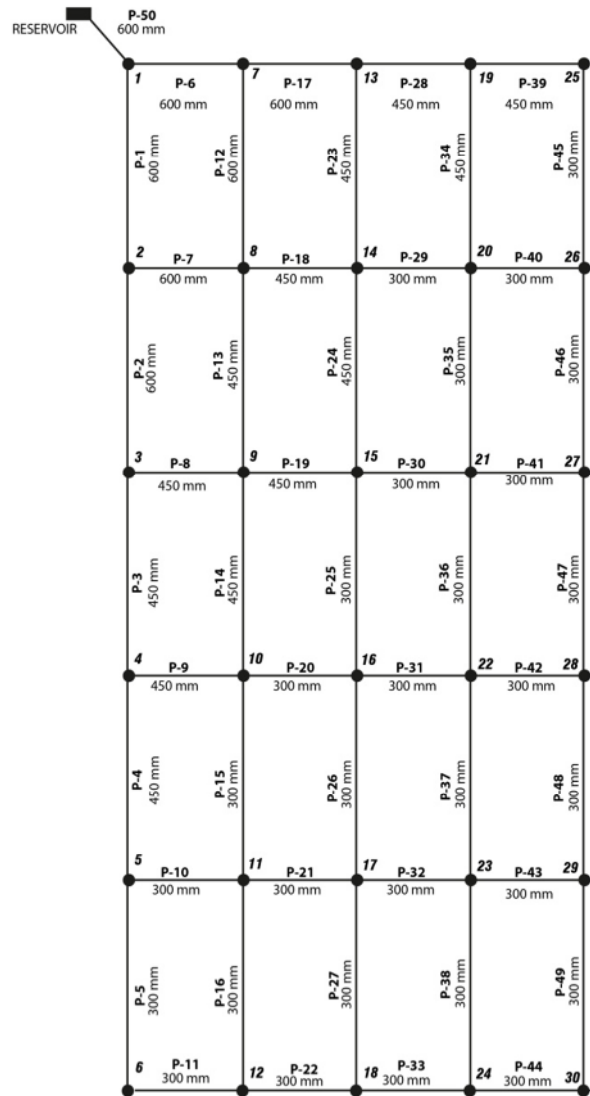
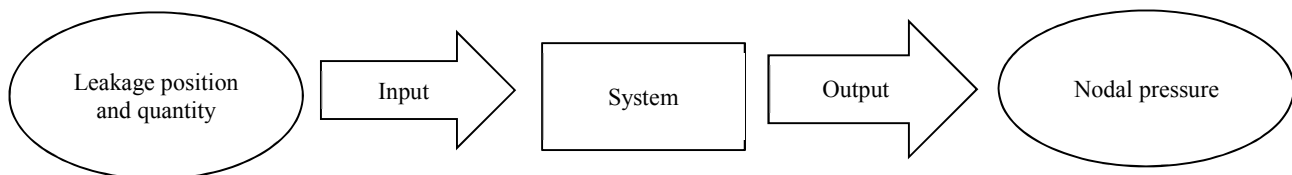


Fig. 1. Layout of the test network (Poulakis et al. 2003)
شکل ۱- شبکه مورد مطالعه (پولakis و همکاران ۲۰۰۳)

نمایش داده شده است و در صورتی که تغییرات نشت در محدوده وسیع تری مورد بررسی قرار گیرد، رابطه نشت و فشار به صورت غیر خطی مشاهده خواهد شد. در حالت کلی به ازای یک مقدار ثابت برای نشت، با تغییر موقعیت نشت، مقادیر فشارهای گرهی تغییر می‌کنند. به استثنای گره متصل به مخزن که در آن، فشار تنها به مقدار نشت وابسته بوده و مستقل از موقعیت نشت و تعداد گره‌های نشت دار است. این موضوع در حالتی برقرار است که مخزن تنها با یک گره مستقیماً به شبکه متصل باشد. بنابراین برای تعیین مقدار دقیق کل نشت موجود در شبکه شکل ۱، کافی است مقدار فشار در گره متصل به مخزن (گره یک) اندازه‌گیری شود.

**Fig. 3.** Input and output system data for training

شکل ۳-دادهای ورودی و خروجی سیستم برای آموزش

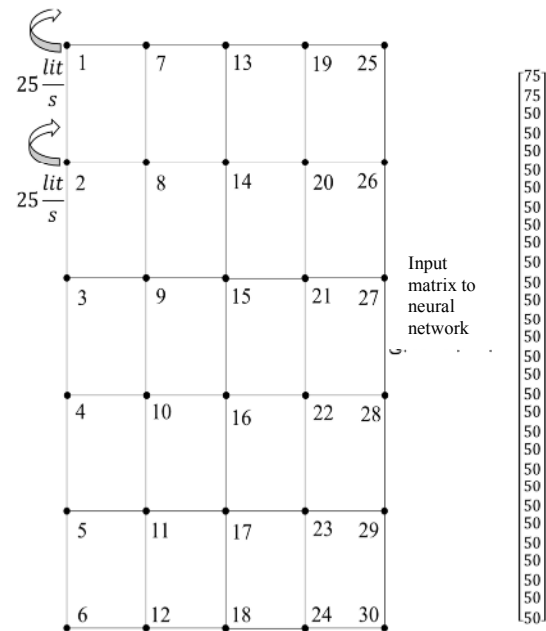
با توجه به شبکه مدل سازی شده با اعمال مقادیر مصرف گرهی که در شکل ۴ نشان داده شده است، می‌توان مقادیر فشار تمامی گرهها را با استفاده از نرم افزار EPANET2.0 بدست آورد.

مقادیر فشار محاسبه شده خروجی‌های سیستم برای آموزش است. با اعمال ماتریس نشان داده شده در شکل ۴ و ماتریس فشار به دست آمده حاصل از تحلیل نرم افزاری به شبکه‌های عصبی، سیستم رابطه بین مقادیر فشار با موقعیت و مقدار نشت را پیدا خواهد کرد. بدیهی است که هر چه تعداد داده‌های آموزشی بیشتر باشد شبکه نیز بهتر آموزش خواهد دید. در این مقاله تعداد داده‌های آموزشی برابر ۹۷۵ بوده است. همچنین به منظور آموزش شبکه فرضیات زیر اعمال شده است

۱- دو نشت همزمان در شبکه رخ می‌دهد. تمام داده‌های آموزشی با فرض وجود دو نشت همزمان تولید شده و مقادیر فشار متناظر با آن محاسبه شده است.

۲- مقدار کل نشت در شبکه برابر ۵۰ لیتر بر ثانیه است. در این حالت فرض شده جمع مقدار نشت در دو گره برابر ۵۰ است. به عنوان مثال اگر گره‌های ۵ و ۱۳ نشت داشته باشند و میزان نشت گره ۵ برابر ۲۰ لیتر فرض شده باشد، مقدار نشت گره ۱۳ برابر ۳۰ لیتر خواهد بود. در صورتی که میزان نشت در شبکه ثابت فرض نشود، باید به ازای مقادیر مختلف نشت، داده‌های آموزشی تولید نمود که در این حالت تعداد داده‌های لازم برای آموزش مناسب شبکه بسیار زیاد خواهد بود. همانطور که اشاره شد با محاسبه فشار در گره متصل به مخزن (گره یک) در شبکه واقعی و با استفاده از شکل ۲-۲ که حاصل از تحلیل نرم افزاری است، می‌توان مقدار دقیق نشت را محاسبه کرد.

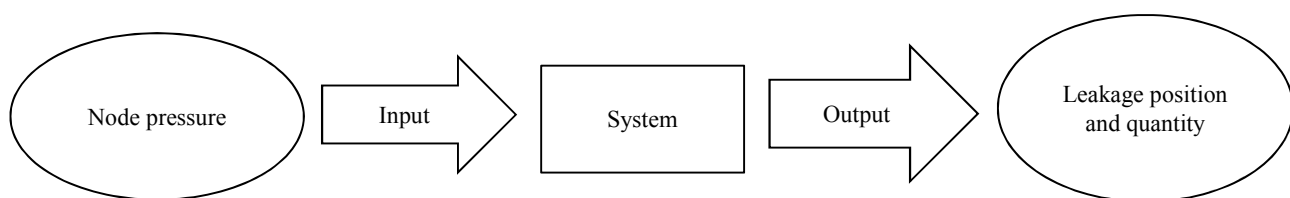
۳- مصرف گرهی برای تولید کلیه داده‌های آموزشی برای تمام گره‌ها ثابت در نظر گرفته شده و مقدار آن برابر ۵۰ لیتر بر ثانیه فرض شده است.

**Fig. 4.** An example of input matrix to system for training artificial neural network

شکل ۴- نمونه‌ای از ماتریس ورودی به سیستم برای آموزش شبکه عصبی مصنوعی

مصنوعی استفاده می‌شود. در این مرحله شبکه عصبی مصنوعی رابطه بین موقعیت و مقدار نشت را با فشار گرهی آموزش می‌بیند. بنابراین به منظور آموزش شبکه عصبی مصنوعی داده‌های ورودی موقعیت و مقدار نشت و خروجی‌ها نیز مقادیر فشار گرهی است. لازم به ذکر است که در داده‌های آموزشی شبکه عصبی مصنوعی نیازی به اطلاعات در زمان عدم وجود نشت نیست (شکل ۳).

به عنوان نمونه با فرض مصرف گرهی برابر ۵۰ لیتر بر ثانیه برای تمامی گره‌ها و در نظر گرفتن میزان نشت برابر ۲۵ لیتر بر ثانیه برای هر کدام از گره‌های ۱ و ۲ ماتریس ورودی به سیستم مطابق شکل ۴ خواهد بود. این ماتریس دارای یک ستون است و تعداد ردیف‌های آن معرف تعداد گره‌های شبکه و برابر ۳۰ است.

**Fig. 5. Input & output data after network training**

شکل ۵-دادهای ورودی و خروجی پس از آموزش شبکه

فرض می‌شود. با این فرض، منحنی تغییرات فشار در یک گره خاص به ازای ترکیبات مختلف دو نشت را می‌توان ترسیم نمود. به عنوان مثال با فرض وجود نشت کل ۵۰ لیتر بر ثانیه در شبکه شکل ۱، شکل ۶ که منحنی تغییرات فشار در ۳ گره شماره یک، دو و شش از شبکه برای ترکیبات مختلف دو نشت ۲۵ لیتر بر ثانیه است را می‌توان ترسیم کرد. تعداد ترکیبات در این حالت برای دو نشت همزمان برای شبکه ۳۰ گرهی نشان داده شده در شکل ۱ برابر ۴۳۵ حالت است که به صورت زیر محاسبه می‌شود

$$\binom{30}{2} = \frac{30 \times 29 \times 28!}{28 \times 2!} = 435$$

همانطور که در شکل ۶ مشاهده می‌شود، نوسانات فشار در گره ۶ بسیار زیادتر از گره ۲ بوده و گره ۱ نیز همانطور که اشاره شد با توجه به اینکه مقدار نشت در کل شبکه ثابت فرض شده، فاقد هرگونه نوسان است و به ازای ترکیبات گوناگون دو نشت در شبکه دارای مقداری ثابت است. در حالت کلی برای شبکه مورد بررسی می‌توان گفت که هر چه یک گره در شبکه از مخزن دورتر باشد به ازای ترکیبات مختلف دو نشت دارای نوسانات بیشتری نسبت به گره‌های نزدیک به مخزن است. به عبارتی در ترکیبات مختلف دو نشت گره‌های نزدیک به مخزن معمولاً دارای مقادیر فشارهای نزدیک یا برابر با هم می‌باشند اما در گره‌های دور از مخزن در ترکیبات مختلف دو نشت مقادیر فشار گرهی نیز بسیار متغیر بوده و مشابه هم نیستند. با توجه به مطلب ذکر شده می‌توان نتیجه گرفت که بهتر است اولین گره فشارسنجی از گره‌های دور از مخزن انتخاب شود زیرا به ازای هر ترکیب متفاوت دو نشتی، مقدار فشار نیز متفاوت است.

۲- نحوه انتخاب موقعیت سایر فشارسنجها
سایر فشارسنجها در هر مرحله باید در گره‌هایی قرار بگیرند که

پس از آموزش شبکه این بار ورودی به سیستم مقدار فشار گرهی در یک یا چند گره از شبکه بوده و خروجی مقدار و موقعیت نشت‌های موجود در شبکه است (شکل ۵). در این حالت می‌توان با اندازه‌گیری فشار گرهی بر روی شبکه واقعی و با استفاده از شبکه عصبی موقعیت و مقدار نشت‌های شبکه را تعیین نمود. در مرحله اول تنها یک ورودی فشار گرهی به شبکه معرفی می‌شود. پس از تحلیل نتایج و شناسایی گره‌های احتمالی نشت‌دار، در مرحله بعد با افزایش یکی دیگر به تعداد فشارسنجی‌ها و انجام تحلیل‌ها در هر مرحله به صورت مجزا، جواب‌های بهتری حاصل خواهد شد. افزایش فشارسنجی‌ها تا زمانی ادامه پیدا می‌کند که جواب‌های شبکه عصبی همگرا شده به طوری که با افزایش فشارسنجی تغییری در جواب‌ها حاصل نشود.

۵- بهترین آرایش قرار دادن فشارسنج‌ها

پس از آموزش شبکه عصبی، باید فشار یک یا چند گره از شبکه به عنوان ورودی به سیستم داده شود تا بتوان موقعیت و مقدار نشت‌ها را بدست آورد. تعیین موقعیت فشارسنجی‌ها در شبکه از اهمیت بالایی برخوردار است به طوری که انتخاب نامناسب یک گره برای فشارسنجی سبب می‌شود که نتوان به جواب‌های مناسبی دست یافت و در صورتی که فشارسنجی‌ها به درستی انتخاب شوند، می‌توان انتظار داشت با کمترین تعداد فشارسنج به بهترین جواب‌ها دست یافت. به عبارت دیگر آنچه که پس از آموزش سبب می‌شود که در روش شبکه‌های عصبی با کمترین تعداد فشارسنج به جواب‌های مطلوبی دست یافت، انتخاب صحیح نقاط فشارسنجی است. در صورت عدم دقت در نقاط فشارسنجی با تعداد بیشتر فشارسنجی می‌توان به جواب‌های مطلوب دست یافت.

۱- نحوه انتخاب موقعیت اولین فشارسنج

همانطور که اشاره شد در این روش مقدار کل نشت در شبکه، معلوم

اثبات این موضوع در شکل ۷ نمایش داده شده است. در این شکل با فرض وجود نشت در گره های ۱ و ۲ شبکه با قرار دادن ۴ فشارسنج در گره های مختلف مقدار نشت با استفاده از شبکه های عصبی محاسبه شده است. نتایج نشان دهنده آن است که هر چه متوسط فاصله فشارسنجی ها از محل نشت کمتر باشد، درصد خطای تعیین مقدار نشت نیز کمتر خواهد بود.

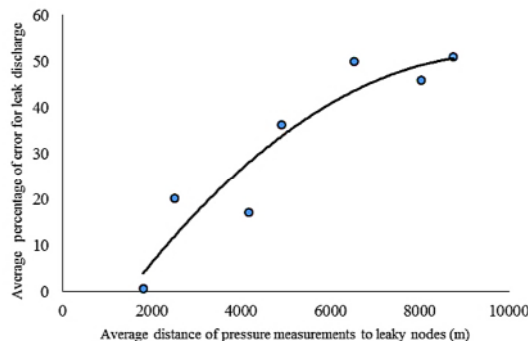


Fig. 7. Relation between average distance of pressure measurement points to leaky nodes and average percentage of error to leak discharge

شکل ۷- رابطه بین متوسط فاصله فشارسنجی ها تا محل نشت و درصد خطای تعیین مقدار نشت

۶- بررسی کارایی روش

در این روش شناسایی نشت حتی تا دبی های اندازه ۱ لیتر بر ثانیه توسط فشارسنجی میدانی قابل شناسایی است. بر اساس تحلیل های انجام شده در صورتی که مقادیر این نشت در گره های نزدیک به گره متصل به مخزن اعمال شود، اختلاف فشارها کوچک بوده ولی مقدار این اختلاف ها بین ۱/۰ تا ۱۳/۰ متر سنتون آب تغییر می کند. در حالی که زمانی که نشت به گره های دور از مخزن مثلاً گره شماره ۳۰ اعمال شود، اختلاف فشارهای ایجاد شده در سایر گره ها افزایش یافته و بین ۱/۰ تا ۲۶/۰ متر سنتون آب تغییر می کند. دستگاه های امروزه معمولاً دارای دقت ۱/۰٪ فشار اتمسفر یا ۱/۰ متر سنتون آب است.

فرض می شود که در شبکه واقعی گره های ۱ و ۲ هر کدام دارای نشت ۲۵ لیتر بر ثانیه باشند و هدف، تعیین موقعیت و مقادیر نشت این گره ها است. با توجه به توضیحات داده شده درباره انتخاب گره های فشارسنجی، اولین گره فشارسنجی یک گره دور از مخزن انتخاب می شود. در این مقاله ۲۰ درصد گره های شبکه بر اساس نتایج حاصل از تحلیل اولین فشارسنجی بر اساس مقدار نشت به

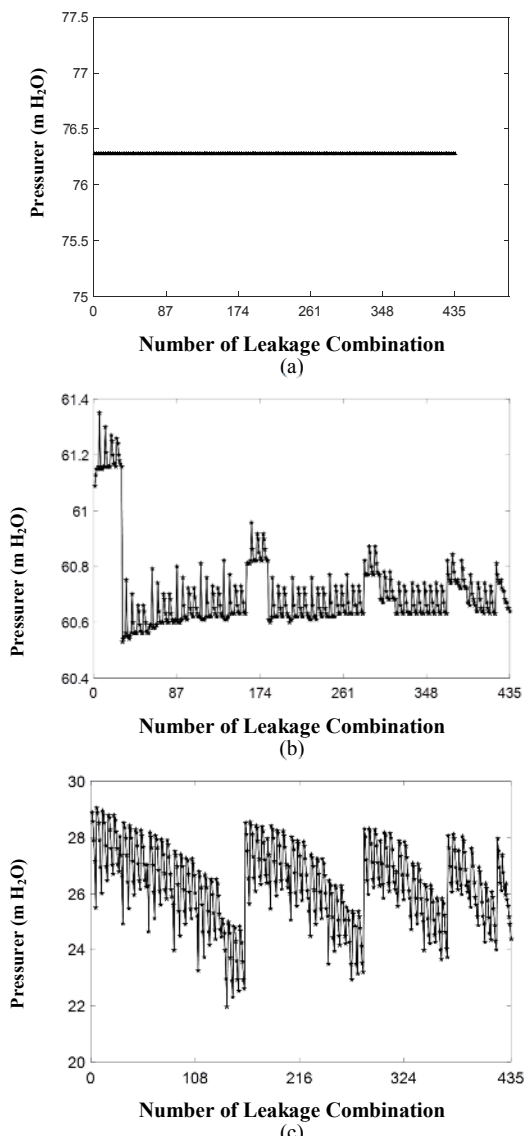


Fig. 6. Pressure fluctuations in a node per different leakage combinations, a) Pressure in node1, b) Pressure in node 2 & c) Pressure in node 6

شکل ۶- نوسانات فشار در یک گره خاص به ازای ترکیبات مختلف نشت در شبکه، (a) فشار در گره ۱، (b) فشار در گره ۲ و (c) فشار در گره ۶

دارای احتمال نشت هستند. در صورتی که گره های فشارسنجی از بین گره های احتمالی نشت دار انتخاب نشوند، با افزایش فشارسنجی تغییر محسوسی در جواب ها ایجاد نمی شود و معمولاً نمی توان موقعیت و مقدار گره های نشت دار را با دقت بالا تعیین نمود. همچنین در صورتی که گره انتخاب شده از محاسبات حذف شود، آن گره نشت دار نبوده و در غیر این صورت آن گره نشت دار و یا در مجاورت گره نشت دار است.

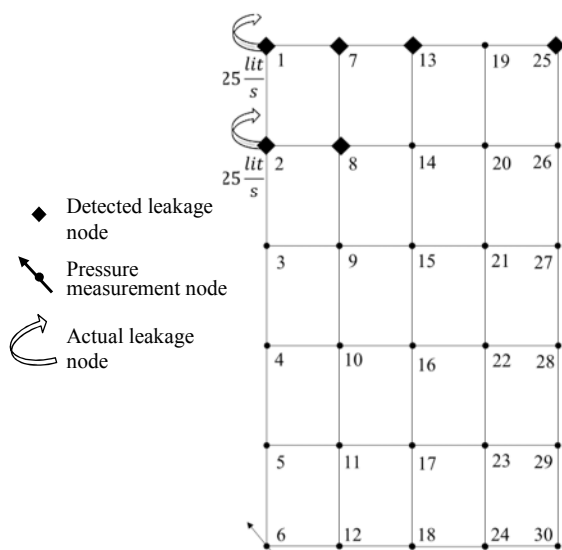


Fig. 8. Leakage possible nodes per pressure measurement in node 6

شکل ۸- گرهای احتمالی نشت به ازای فشارسنجی در گره ۶

۳۰ گره از محاسبات حذف شد. لازم به ذکر است که در ادامه و با افزایش فشارسنج ها تنها ۶ گره مظنون به نشت مورد بررسی قرار می گیرند. این امر سبب تسریع دسترسی به جواب های صحیح می شود. البته در صورتی که با افزایش فشارسنج ها، گره های دیگر مقدار نشت زیادی را نشان دهند، این گره ها در ادامه محاسبات، جایگزین گره های حذف شده می شوند تا از عدم رخداد نشت در آنها اطمینان حاصل شود. دومین فشارسنجی باید از بین گره های احتمالی نشت دار انتخاب شود. گره ۷ انتخاب شد. در نتیجه در این مرحله تعداد ورودی ها به شبکه عصبی برابر ۲ است. این دو داده ورودی مقادیر فشار گره های ۶ و ۷ است. نتایج حاصل از دو فشارسنجی در گره های ۶ و ۷ در جدول ۲ نشان داده شده است.

همانطور که مشاهده می شود با انتخاب گره ۷ به عنوان دومین فشارسنج، این گره از گره های دارای احتمال نشت حذف می شود. بنابراین این گره نشت دار نبوده است.

جدول ۲- نتایج حاصل از فشارسنجی در گره های ۶ و ۷

Table 2. Results of pressure measurement in nodes 6 & 7

Number of node	Q _P (l/s)
1	26.2
2	8.6
7	-0.4
8	5.2
13	3.8
25	2

عنوان گره های احتمالی نشت دار در نظر گرفته می شوند. به بیان دیگر شبکه دارای ۳۰ گره است و ۲۰ درصد آن برابر ۶ است. بنابراین پس از انجام اولین فشارسنجی ۶ گرهی که مقدار نشت بیشتر را دارند، به عنوان گره های احتمالی نشت دار شناخته می شوند. اولین گره فشارسنجی گره ۶ انتخاب شد. مقدار فشار در این گره برابر $28/9$ متر ستون آب به ازای دو نشت ۲۵ لیتر در گره های ۱ و ۲ بود. در این حالت تعداد ورودی ها به شبکه عصبی مصنوعی برابر یک است که نتایج حاصل از تحلیل در جدول ۱ نمایش داده شده است. با توجه به آنکه در بخش آموزش به ازای ۹۷۵ ترکیب مختلف نشت مقادیر فشار گره ۶ محاسبه شده بود، در این حالت شبکه رابطه بین تنها ورودی به شبکه عصبی که همان فشار گره ۶ است و موقعیت و مقادیر نشت را آموزش دیده و قادر است با فشارسنجی در این گره به صورت معکوس عمل کرده و مقادیر موقعیت و مقدار نشت را تعیین کند. مقادیر نشت بدست آمده در این مرحله به صورت تقریبی است به عبارتی در صورتی که مقدار نشت گرهی منفی باشد یا اندکی از صفر بیشتر باشد، می توان نتیجه گرفت که نشت آن گره صفر بوده است. مطابق جدول ۱ گره های ۱، ۲، ۷، ۸، ۱۳ و ۲۵ دارای بیشترین مقدار نشت می باشند. موقعیت گره های احتمالی نشت دار در شکل ۸ نشان داده شده است.

همانطور که در شکل ۸ مشاهده می شود، با انجام تنها یک فشارسنجی موقعیت تقریبی گره های نشت دار تعیین شده است. به منظور دستیابی به جواب های مطلوب تر لازم است تعداد فشارسنج ها افزوده شود. بنابراین با اولین فشارسنجی، ۴ گره از

جدول ۱- نتایج حاصل از فشارسنجی در گره ۶

Table 1. Results of pressure measurement in node 6

Number of node	Q _P (l/s)	Number of node	Q _P (l/s)
1	21.93	16	0.00
2	3.47	17	0.01
3	0.51	18	-0.01
4	-0.04	19	1.17
5	-0.01	20	1.14
6	0.00	21	-0.21
7	11.78	22	0.00
8	2.61	23	0.01
9	0.22	24	-0.01
10	-0.04	25	1.47
11	0.01	26	0.30
12	-0.01	27	-0.11
13	4.68	28	0.01
14	1.00	29	0.00
15	0.18	30	0.00

که در رابطه بالا Q_R مقدار نشت واقعی گرهی و Q_P مقدار نشت پیش‌بینی شده به وسیله شبکه عصبی است. نتایج حاصل از این مثال در شکل ۹ نشان داده است.

همانطور که مشاهده شد، این روش قادر است موقعیت دقیق و مقدار نشت را با تقریب خوبی تخمین بزند. این امر به دلیل انتخاب مناسب فشارسنج ها است.

در حالتی دیگر فرض می‌شود که نشت گره ۱۲ برابر ۴ و گره ۲۵ برابر ۴۶ لیتر بر ثانیه باشند. مشابه قبل اولین گره فشارسنجی گره ۶ انتخاب شد. نتایج حاصل از تحلیل در جدول ۵ نشان داده شده است.

همانطور که مشاهده می‌شود ۶ گره نشت دار به ترتیب اولویت گره‌های ۲۶، ۲۰، ۱۵، ۹، ۲۰ و ۲۱ می‌باشند. دومین گره فشارسنجی از بین گره‌های احتمالی نشت دار و گره ۲۶ انتخاب می‌شود که نتایج آن در جدول ۶ نشان داده شده است.

با توجه به جدول ۶ می‌توان گفت که گره ۲۶ نشت دار نبوده است زیرا با فشارسنجی این گره، مقدار نشت آن تقریباً برابر صفر شد. همچنین گره‌های ۹ و ۱۵ را نیز می‌توان از محاسبات حذف نمود به دلیل آنکه نشت این گره‌ها نیز تقریباً برابر صفر بود. بنابراین

تنها سه گره ۲۰، ۲۵ و ۲۱ باقی ماندند.

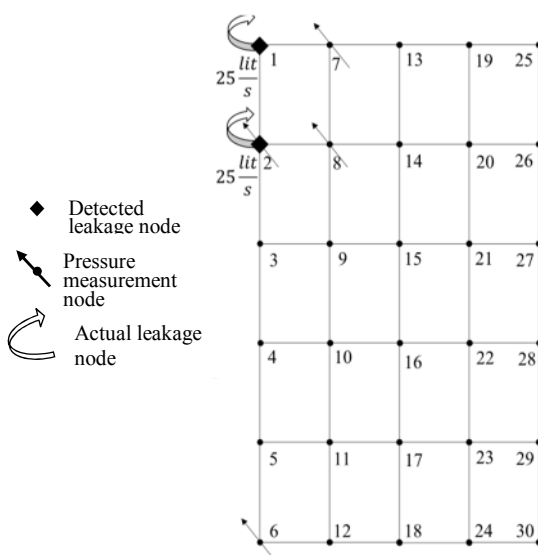


Fig. 9. Assign network leak nodes by using neural networks for leakage in nodes 1 & 2

شکل ۹- تعیین گره‌های نشت دار در شبکه با استفاده از شبکه‌های عصبی برای نشت در گره‌های ۱ و ۲

با توجه به نتایج حاصل از دو فشارسنجی، گره‌های ۱ و ۲ و ۸ در بین ۳۰ گره بیشترین احتمال نشت را دارند. گره‌های ۱۳ و ۲۵ نیز در این مرحله دارای احتمال نشت می‌باشند. سومین فشارسنجی از بین گره‌های احتمالی نشت دار است. گره ۸ انتخاب شد.

جدول ۳- نتایج حاصل از فشارسنجی در گره‌های ۶، ۷ و ۸

Table 3. Results of pressure measurement in nodes 6, 7 & 8

Number of node	Q_P (l/s)
1	26.6
2	3.8
8	14.9
13	-2.5
25	-2.2

نتایج حاصل از سه فشارسنجی گره‌های ۶ و ۷ و ۸ در جدول ۳ نشان داده شده است. با توجه به اینکه گره ۸ از محاسبات حذف نمی‌شود، این گره نشت دار و یا در مجاورت گره‌های نشت دار است. همچنین مشاهده می‌شود که گره‌های ۱۳ و ۲۵ نیز نشت دار نبوده‌اند. در نهایت با انتخاب گره ۲ به عنوان چهارمین فشارسنجی، نشت دار بودن این گره مورد بررسی قرار گرفت. نتایج حاصل از ۴ فشارسنجی در جدول ۴ نمایش داده شده است.

جدول ۴- نتایج حاصل از فشارسنجی در گره‌های ۲، ۶، ۷ و ۸

Table 4. Results of pressure measurement in nodes 2, 6, 7 & 8

Number of node	Q_P (l/s)	Q_R (l/s)	Error(%)
1	24.9	25	0.4
2	20	25	20

با توجه به جدول ۴ مشاهده می‌شود که با انتخاب گره ۲ به عنوان چهارمین فشارسنجی، مقدار نشت در این گره ۲۰ لیتر بر ثانیه به دست می‌آید. همچنین با توجه به اینکه مقدار نشت در گره ۸ تقریباً برابر صفر است، می‌توان گفت که این گره نشت دار نبوده و تنها در مجاورت دو گره نشت دار است. با توجه به تحلیل‌های صورت گرفته تنها دو گره ۱ و ۲ در تمام مراحل فشارسنجی‌ها وجود نشت را نشان داده‌اند و سایر گره‌ها با افزایش تعداد فشارسنجی مقدار نشت را در حدود صفر و یا منفی نشان دادند که نشان‌دهنده آن بود که در آن گره‌ها هیچ گونه نشتی رخ نمی‌دهد. همچنین در صد خطاب بر اساس رابطه ۱ تعیین شد

$$\text{Error}(\%) = \frac{(Q_R - Q_P)}{Q_R} \times 100 \quad (1)$$

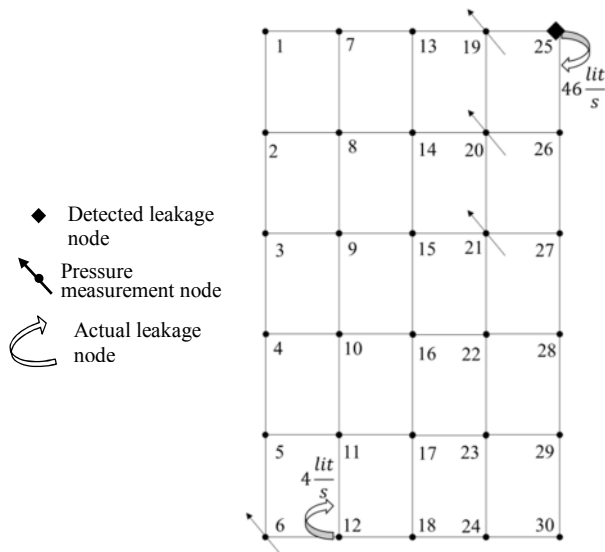


Fig. 10. Assigning network leak nodes by using neural networks for leakage in nodes 12 & 25

شکل ۱۰- تعیین گرهای نشت دار در شبکه با استفاده از شبکه های

عصبی برای نشت در گره های ۱۲ و ۲۵

لازم است که از نشت دار نبودن این گره اطمینان حاصل نمود. بنابراین یک فشارسنج دیگر در گره ۱۹ قرار داده می شود. با انجام پنجمین فشارسنجی نشت گره ۱۹ برابر ۱/۵۶ لیتر و نشت گره ۲۵ برابر ۴۵/۶۵ لیتر بر ثانیه به دست می آید. بنابراین گره نشت دار، گره ۲۵ بوده و مقدار نشت آن نیز مشاهده می شود که توسط شبکه های عصبی به درستی تخمین زده است. البته این روش قادر به شناسایی گرهی که مقدار نشت آن بسیار کمتر است نبود. به طور کلی این روش به خوبی می تواند گرهی که مقدار نشت مکانیزم را دارد شناسایی کند. نتایج حاصل از این مثال در شکل ۱۰ نشان داده شده است.

در مثال بعدی فرض می شود که دو نشت همزمان ۲۵ لیتر بر ثانیه در دو گره ۳ و ۱۳ رخ دهد. مطابق قبل اولین فشارسنجی در گره شماره ۶ قرار داده می شود. ۶ گرهی که دارای بالاترین مقدار نشت هستند در جدول ۸ نمایش داده شده است.

جدول ۸- نتایج حاصل از یک فشارسنجی در گره ۶

Table 8. Results of pressure measurement in node 6

Number of node	Q _P (l/s)
3	3.23
13	3.02
14	5.36
19	7.31
20	8.54
25	10

جدول ۵- نتایج حاصل از فشارسنجی در گره ۶

Table 5. Results of pressure measurement in node 6

Number of node	Q _P (l/s)	Number of node	Q _P (l/s)
1	0.9	16	0.24
2	1.36	17	0.14
3	2.1	18	0.16
4	1.89	19	2.74
5	0.19	20	4.59
6	0.24	21	3
7	1.2	22	0.03
8	1.52	23	0.06
9	4.28	24	0.06
10	1.27	25	3.56
11	0.19	26	8.77
12	0.2	27	1.76
13	1.71	28	-0.04
14	2.03	29	-0.01
15	5.57	30	-0.01

جدول ۶- نتایج حاصل از فشارسنجی در گره های ۶ و ۲۶

Table 6. Results of pressure measurement in nodes 6 & 26

Number of node	Q _P (l/s)
25	13.6
26	0.68
20	12.34
9	0.29
15	-0.4
21	2.59

سومین فشارسنج، گره ۲۰ انتخاب شد. نتایج حاصل از این فشارسنج در جدول ۷ نمایش داده شده است.

جدول ۷- نتایج حاصل از فشارسنجی در گره های ۶، ۲۰ و ۲۶

Table 7. Results of pressure measurement in nodes 6, 20 & 26

Number of node	Q _P (l/s)
25	31.74
20	-0.54
21	6.42

بنابراین با انجام سه فشارسنجی تنها دو گره ۲۵ و ۲۱ باقی ماند. در صورتی که فشارسنج چهارم را در گره ۲۱ قرار داده شود مقدار نشت این گره ۰/۶ و مقدار نشت گره ۲۵ برابر ۳۰ لیتر بر ثانیه به دست می آید. بنابراین گره ۲۱ نیز نشت دار نبوده است. در این مثال با افزایش تعداد فشارسنج ها مقدار نشت همه گره ها به مقدار نزدیک به صفر رسید اما گره ۱۹ که در اولین فشارسنجی در اولویت هفتم بود مقدار نشت آن یک سیر صعودی داشته و در چهارمین فشارسنجی مقدار نشت ۱۶/۴۶ لیتر بر ثانیه را نشان داد. بنابراین

نیز شبکه‌های عصبی قادر به شناسایی گره‌های نشت دار است. فرض می‌شود که چهار گره، ۵، ۶، ۱۱ و ۱۲ هر کدام ۱۲/۵ لیتر بر ثانیه دارای نشت باشند. مشابه قبل بر اساس اصول ذکر شده برای انتخاب فشارسنجی اولین گره فشارسنجی، گره ۶ انتخاب شد. در این حالت ۶ اولویت اول گره‌های احتمالی نشت در جدول ۱۰ نشان داده شده است.

جدول ۱۰- نتایج حاصل از یک فشارسنجی در گره ۶

Table 10. Results of pressure measurement in node 6

Number of node	Q_p (l/s)
12	20.7
18	8.96
6	3.95
24	2.13
5	2.03
17	1.68

همانطور که مشاهده می‌شود با اولین فشارسنجی سه گره نشت دار واقعی در شش اولویت اول قرار گرفتند. با توجه به اینکه گره ۶ در جواب‌های حاصل از اولین فشارسنجی می‌باشد پس گره فوق نشت دار بوده و یا در مجاورت گره نشت دار است زیرا فشارسنجی در این گره انجام شده ولی این گره از محاسبات حذف نشده است. فشارسنجی دوم گره ۱۸ انتخاب شد. نتایج حاصله در جدول ۱۱ نشان داده شده است.

جدول ۱۱- نتایج حاصل از فشارسنجی در گره‌های ۶ و ۱۸

Table 11. Results of pressure measurement in nodes 6 & 18

Number of node	Q_p (l/s)
12	7.92
18	-1.57
6	22.23
24	3.16
5	4.56
17	3.5

بنابراین با توجه به جدول ۱۱ گره ۱۸ نشت دار نبوده است. سومین گره فشارسنجی گره ۵ انتخاب شد. نتایج حاصل از این فشارسنجی در جدول ۱۲ نشان داده شده است.

جدول ۱۲- نتایج حاصل از فشارسنجی در گره‌های ۵، ۶ و ۱۸

Table 12. Results of pressure measurement in nodes 5, 6 & 18

Number of node	Q_p (l/s)
12	4.36
6	19.35
24	0.83
5	8.08
17	-4.85

نتایج حاصل از اولین فشارسنجی موقعیت تقریبی گره‌های نشت دار را مشخص نموده است. مطابق جدول ۸ گره ۲۵ دارای بالاترین مقدار نشت بوده و این گره به عنوان دومین فشارسنجی انتخاب می‌شود. نتایج حاصله در جدول ۹ نشان داده شده است.

جدول ۹- نتایج حاصل از فشارسنجی در گره‌های ۶ و ۲۵

Table 9. Results of pressure measurement in nodes 6 & 25

Number of node	Q_p (l/s)
3	2.33
13	11.38
14	17.56

مطابق جدول ۹ با انجام دومین فشارسنجی گره‌های ۲۰، ۱۹ و ۲۵ که از محل نشت نیز دور بوده‌اند نیز از محاسبات حذف می‌شوند. همانطور که مشاهده می‌شود با انجام تنها دو فشارسنجی هر دو گره نشت دار به خوبی شناسایی شده‌اند. به منظور افزایش دقت جواب‌ها و تعیین مقدار کمیت نشت سومین فشارسنجی گره ۱۴ انتخاب شد. در این حالت با انجام سه فشارسنجی نشت گره ۱۴ نیز برابر صفر شد و مقادیر نشت در گره‌های ۳ و ۱۳ به ترتیب برابر $4/5$ و $5/4$ لیتر بر ثانیه شد. در بین دو گره باقیمانده چهارمین فشارسنجی، گره ۱۳ انتخاب شد. در این حالت مقدار نشت گره‌های ۳ و ۱۳ به ترتیب برابر $4/4$ و $4/7$ لیتر بر ثانیه بود. در نهایت به منظور دستیابی به مقدار دقیق‌تر در کمیت نشت در صورت انتخاب گره ۳ به عنوان پنجمین گره فشارسنجی نشت گره ۳ برابر $21/84$ و نشت ۱۳ برابر $6/30$ لیتر بر ثانیه پیش‌بینی می‌شود. با توجه به همگرا شدن جواب‌ها به دو گره ۳ و ۱۳ نیازی به افزایش تعداد فشارسنجی‌ها نیست و می‌توان گفت که این دو گره قطعاً نشت دار می‌باشند. در این مثال همانطور که مشاهده می‌شود با انجام پنج فشارسنجی علاوه بر تعیین موقعیت دقیق گره‌های نشت دار، مقدار کمیت نشت در حالتی که فاصله بین دو گره نشت دار زیاد باشد، باز هم با دقت خوبی پیش‌بینی شد.

۷- بررسی کارایی روش برای هر تعداد نشت

همانطور که اشاره شد، شبکه تنها برای وجود دو نشت همزمان در شبکه آموزش دید و کارآیی روش نیز تنها برای حالت وجود دو نشت همزمان در شبکه مورد بررسی قرار گرفت. اما تعداد نشت‌های رخداده در شبکه هر تعدادی می‌تواند باشد. در این حالت

است که موقعیت دقیق و مقدار نشت را با تقریب خوبی تخمین بزند. نتایج حاصل از این مثال در شکل ۱۱ نشان داده شده است. به عبارتی دیگر این روش حساسیتی نسبت به تعداد نشت های رخ داده در شبکه ندارد و به ازای هر تعداد نشت قابلیت شناسایی موقعیت و مقدار آنها توسط این روش وجود خواهد داشت. نتایج حاصل از تحلیل ها نشان می دهد که در روش فوق علاوه بر تعیین موقعیت نشت، در اکثر مواقع مقدار نشت با دقت قابل قبولی نیز قابل شناسایی بوده و میزان خطای کمتر از 30° درصد است و با توجه به نتایج حاصله در تحلیل های مختلف می توان گفت که متوسط خطای در برآورد میزان کمیت نشت کمتر از 15° درصد است.

-۸-نتیجه گیری

با وجود اینکه نشت در شبکه های توزیع آب باعث هدر رفت منابع ارزشمند آب شیرین می شود، اما خطر بزرگ تر ورود مواد آلاینده به شبکه است. روش های رایج نشت یابی که بر پایش شبکه، منطقه به منطقه نشت را جستجو می کنند بسیار هزینه برو و وقت گیر می باشند، لذا اخیراً روش هایی که با مدل سازی شبکه به صورت فرآگیر موقعیت نقاط با پتانسیل نشت را شناسایی می کند، مورد توجه قرار گرفته اند. شناسایی نشت در شبکه های توزیع آب نقش قابل توجهی در کاهش آب به حساب نیامده دارند. در این مقاله یک ایده جدید به منظور تعیین موقعیت و مقدار نشت های موجود در شبکه با استفاده از شبکه های عصبی ارائه شد. نتایج حاصل از این روش نشت یابی نشان دهنده قابلیت شناسایی موقعیت و مقدار نشت های موجود در شبکه است. نحوه انتخاب اولین فشارسنج نیز همانطور که اشاره شد باید در گرهی قرار گیرد که بالاترین نوسانات فشار را داشته باشد و به ازای ترکیبات مختلف نشت کمترین مقادیر فشار یکسان را داشته باشند. سایر فشارسنج ها نیز بنا به موقعیت گره های احتمالی و از بین آنها باید انتخاب شود. مقدار کل نشت در شبکه نیز تنها با فشارسنجی در گره متصل به مخزن قابل شناسایی است.

در این پژوهش در داده های آموزشی تولید شده به منظور آموزش شبکه های عصبی مصنوعی کمترین مقدار نشت فرضی گرهی برابر 10° درصد مقدار مصرف گرهی بود. پس از تحلیل های انجام شده نتایج نشان می دهد با توجه به نحوه آموزش شبکه عصبی این روش تنها مقادیر نشت بیشتر از 10° درصد مصرف گرهی را شناسایی

با توجه به جدول ۱۲ می توان گفت که گره ۵ نشت دار بوده و یا در ۲۴ مجاورت گره نشت دار است. همچنین می توان گفت که گره های ۱۷ نشت دار نیستند زیرا نشت آنها نزدیک به صفر و یا منفی شده است. بنابراین تنها سه گره 12° ، 6° و 5° باقی مانده است. سپس گره 12° به عنوان فشارسنجی چهارم انتخاب شد که این گره از محاسبات حذف نمی شود. این گره مقدار نشت $4^{\circ}/60^{\circ}$ لیتر بر ثانیه را نشان می دهد. با افزایش فشارسنجی ها گره 11° مقدار نشت آن برخلاف سایر گره ها یک مقدار افزایشی داشت؛ به طوری که در فشارسنجی اول تا چهارم مقدار نشت این گره به ترتیب برابر $1/36^{\circ}$ ، $1/76^{\circ}$ ، $1/24^{\circ}$ و $1/15^{\circ}$ لیتر بر ثانیه بود، بنابراین از نشت دار نبودن این گره باید اطمینان حاصل نمود. فشارسنجی پنجم گره 11° انتخاب شد. این گره از محاسبات حذف نمی شود و مقدار نشت $9^{\circ}/17^{\circ}$ لیتر بر ثانیه را نشان می دهد. نتایج حاصله از ۵ فشارسنجی در جدول ۱۳ نشان داده شده است. همانطور که مشاهده می شود با وجود آنکه شبکه تنها برای دو نشت آموزش دیده است، قادر

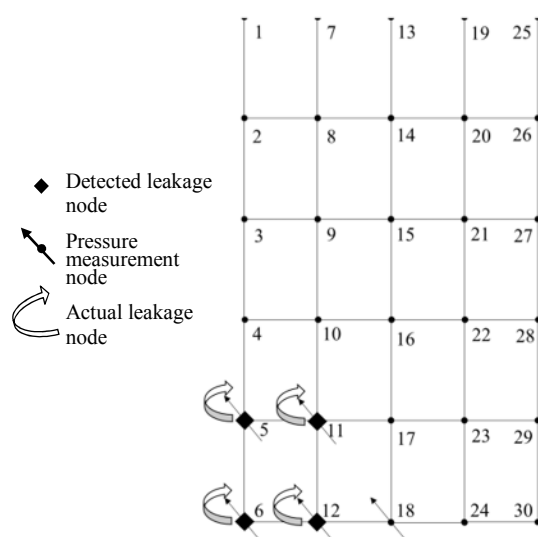


Fig. 11. Assigning network leak nodes by using neural networks for leakage in nodes 5, 6, 11 & 12

شکل ۱۱- تعیین گره های نشت دار در شبکه با استفاده از شبکه های عصبی برای نشت در گره های 5° ، 6° ، 11° و 12°

جدول ۱۳- نتایج فشارسنجی در گره های 5° ، 6° ، 11° و 12°

Table 13. Results of pressure measurement in nodes 5, 6, 11, 12 & 18

Number of node	Q_P (l/s)	Q_R (l/s)	Error(%)
5	9.39	12.5	24.88
6	12.75	12.5	2
11	9.17	12.5	26.64
12	8.75	12.5	30

آموزشی از میزان خط‌کاست. یکی دیگر از مزایای این روش آن است که در اکثر موقعیت با انجام تنها یک فشارسنجی می‌توان به موقعیت تقریبی گره‌های نشت‌دار پی برد و به منظور تعیین موقعیت دقیق‌تر گره‌های نشت‌دار و مقدار نشت باید تعداد فشارسنج‌ها را افزایش داد.

می‌کند و قادر به شناسایی مقادیر کمتر از آن نیست. به منظور برطرف کردن این ضعف می‌توان با تولید داده‌های آموزشی جدید که مقادیر کمتر از ۱۰ درصد مصرف گرهی را شامل شوند، نشت‌های کمتر از این مقدار را نیز شناسایی نمود. همچنین برای دستیابی به جواب‌های دقیق‌تر می‌توان با افزایش تعداد داده‌های

References

- Araujo, L.S., Ramos, H. & Coelho, S.T., 2006, "Pressure control for leakage minimization in water distribution systems management", *Journal of Water Resources Management*, 20, 133-149.
- Soltani Asl, M. S. & Maghrebi, M. F., 2008, "Intelligent pressure management to reduce leakage in urban water supply networks, a case study of Sarafrazan District, Mashhad", *Journal of Water and Wastewater*, Vol. 20 No.3 (71), 99-104. (In Persian)
- Campusano, A., Creaco, E. & Modica, C., 2010, "RTC of valves for leakage reduction in water supply network", *Journal of Water Resources Planning and Management*, 136, (1) 138-141.
- Covas, D., & Ramos, H., 2010, "Case studies of leak detection and location in water pipe systems by inverse transient analysis", *Journal of Water Resources Planning and Management*, 136(2) 248-257.
- Hunaidi, O., Chu, W., Wang, A., & Guan, W., 1998, "Effectiveness of leak detection methods for plastic water distribution pipes", *Workshop on Advancing the State of our Distribution Systems*, Denver: The Practical Benefits of Research.
- Jing, K., & Zhi-Hong Z., 2012, "Time prediction model for pipeline leakage based on grey relational analysis", *Journal of Physics Procedia* 25, 2019-2024.
- Karamouz, M., Tabesh, M., Nazif, S., & Moridi, A., 2005, "Estimation of hydraulic pressure in water networks using artificial neural networks and fuzzy logic", *Journal of Water and Wastewater*, Vol. 1 No.16 (53), 3-14. (In Persian)
- Li, W., Ling, W., Liu, S., Zhao, J., Liu, R., Chen, Q., Qiang, Z. & Qu., J., 2011, "Development of system for detection, early warning, and control of pipeline leakage in drinking water distribution: A case study", *Journal of Environmental Science*, 23(11) 1816-1822.
- Maghrebi, M. F. & Attari, M., 2013, "A new method in leak detection of a water supply networks using minimal number of nodal pressure measurements for the case of two nodal leaks", *7th National Congress on Civil Engineering, Zahedan*, Sistan and Baluchestan, Iran. (In Persian)
- Marunga, A., Hoko, Z., & Kaseke, E., 2006, "Pressure management as a leakage reduction and water demand management tool: The case of the City of Mutare, Zimbabwe", *Journal of Physics and Chemistry of the Earth*, 31, 763-770.
- National Water & Wastewater Company, 2010, *Statistics and information of rural water and wastewater company*, Tehran, Iran. (In Persian)
- Nicolini, M., Giacomello, C., & Ded, K., 2011, "Calibration and optimal leakage management for a real water distribution network", *Journal of Water Resources Planning and Management*, 137 (1) 134-142.

- Perez, R., Puig, V., Pascual, J., Quevedo, J., Landeros, E. & Peralta, A., 2011, "Methodology for leakage isolation using pressure sensitivity analysis in water distribution networks", *Journal of Control Engineering Practice* 19, 1157-1167.
- Poulakis, Z., Valougeorgis, D. & Papadimitriou, C., 2003, "Leakage detection in water pipe networks using a bayesian probabilistic framework", *Probabilistic Engineering Mechanics*, 18, 315-327.
- Prodon, A., DeNegre, S. & Liebling, T.M., 2010, "Location leak detection sensors in a water distribution network by solving prize-collecting steiner arborescence problems", *Journal of Math. Program. Ser B*, 124, 119-141.
- Soltani, J. & Mohammmdrezapour Tabari, M., 2012, "Determination of the effective parameters on the rate of failure in the pipelines of the water supply networks by the use of a hybrid method on the ANN and GA", *Journal of Water and Wastewater*, Vol. 23 No.3 (83) , 2-15. (In Persian)
- Tajrishi, M. & Abrishamchi, A., 2004, "Management of water resources demands in the country", *The First Congress on the Prevention of the Wasting the National Resources*, Tehran, Iran. (In Persian)